



N389 Ettenleur – Zevenbergen

Detectierapport

Opdrachtgever : Antea Group Nederland B.V.
Kenmerk : 140000176-DR-01
Versie : 04
Datum : 25-1-2023

Opsteller:

Dhr. J. van den Bout
Coördinator / senior deskundige OOO

Geaccordeerd:

Dhr. M.A. Abee
Manager



AVG Bouwstoffen



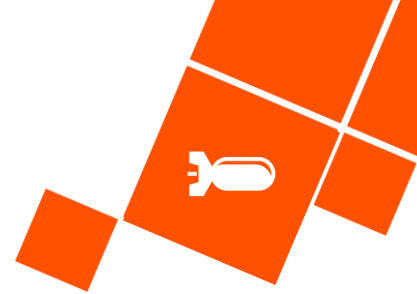
AVG Explosieven
Opsporing



AVG Infra

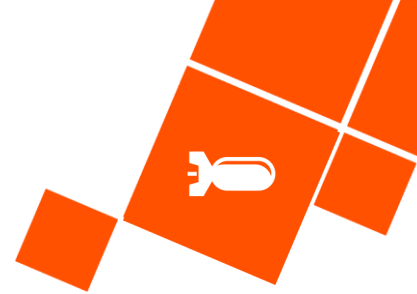


AVG Transport



Inhoudsopgave

1	INLEIDING	3
1.1	Omschrijving en doelstelling van de opdracht	3
2	WERKZAAMHEDEN & RESULTATEN	5
2.1	Detectiemethode	5
2.1.1	Verkeersmaatregelen projectgebied	5
2.1.2	Non-realtime oppervlakedetectie	6
2.1.3	Interpretatie van de meetgegevens	7
2.1.4	Resultaten detectie en interpretatie	10
3	AANBEVELING	11
3.1	Gebied A	11
3.2	Gebied B	11
3.3	Gebied C	11
3.4	Gebied D	12
3.5	Advies vervolgwerkzaamheden	12
4	BIJLAGEN	13
4.1	Overzichtstekeningen meetresultaten 10 nT	13
4.2	Objectenlijsten	15



1 INLEIDING

1.1 Omschrijving en doelstelling van de opdracht

Door Antea Group Nederland B.V. is opdracht verleend aan AVG Explosieven Opsporing Nederland (hierna: AVG) om detectiewerkzaamheden uit te voeren naar de mogelijke aanwezigheid van ontplofbare oorlogsresten.

De aanleiding van dit onderzoek is:

- Het gemeentebreed vooronderzoek "gemeente Ettenleur" opgesteld door Bodac met kenmerk: 210125_H0018_VO_01, d.d. 25-01-2021
- Het vooronderzoek "N389 Etten-Leur – Zevenbergen" opgesteld AVG met kenmerk: 143000040-VO-02, d.d. 06-07-2022
- De risicoanalyse ontplofbare oorlogsresten "N389 Etten-Leur – Zevenbergen" opgesteld door AVG met kenmerk: 14400012-RA-01, d.d. 02-08-2022
- Het projectplan opsporen ontplofbare oorlogsresten "N389 Ettenleur – Zevenbergen" met kenmerk: 140000176-PP-01, d.d. 10-11-2022.

In de vooronderzoeken wordt aangegeven dat in het onderzoeksgebied naar alle waarschijnlijkheid ontplofbare oorlogsresten uit de Tweede Wereldoorlog aanwezig kunnen zijn. Het specifieke opsporingsgebied is verdacht verklaard op de volgende hoofdsoorten ontplofbare oorlogsresten:

Hoofdsoort	Subsoort	Nationaliteit	Kaliber	Verschijningsvorm	Afbakening
Geschutmunitie	<ul style="list-style-type: none">• Brisant• Rook	Duits	<ul style="list-style-type: none">• 2 cm• 5 cm• 7,5 cm• 8,8 cm• 10,5 cm	<ul style="list-style-type: none">• Verschoten• Achtergelaten	Tot 2,50 m - mv
Geschutmunitie	<ul style="list-style-type: none">• Brisant• Rook	Geallieerd	<ul style="list-style-type: none">• 60 mm t.m• 105 mm	<ul style="list-style-type: none">• Verschoten• Achtergelaten	Tot 2,50 m - mv
Afwerpmunitie	<ul style="list-style-type: none">• Brisant	Geallieerd	<ul style="list-style-type: none">• 250 lb.• 500 lb.	<ul style="list-style-type: none">• Afgeworpen	Tot de 10 mPA laag > 1 meter dikte
Vernielingsmiddelen	<ul style="list-style-type: none">• Geïm-profvi-seerd	Duits	<ul style="list-style-type: none">• N.v.t.	<ul style="list-style-type: none">• Gedumpte• Achtergelaten• Weggeslingerd	Vaste waterbodem en het leggerprofiel

De huidige maaiveldhoogte ter plaatse van de projectlocatie varieert van ca. 0,40 m +NAP ten zuiden van de projectlocatie tot en met ca. 0,00 m +NAP ten Noorden van de projectlocatie(bron: AHN).

AVG heeft in het kader van haar opdracht een detectieonderzoek uitgevoerd in het door de opdrachtgever aangegeven onderzoeksgebied met een totale grootte van 101.647 m².



Het doel van de detectie is in kaart brengen van ijzerhoudende objecten tot een diepte van 2,50 m -mv en hiervan aan te geven welke objecten een magnetische opbouw hebben die overeenkomt met de opbouw van ontplofbare oorlogsresten waarna de locaties van milieukundig- en archeologisch booronderzoek bepaald kunnen worden.



Afb.1 – Deel van het onderzoeksgebied "N389 Ettenleur – Zevenbergen".



2 WERKZAAMHEDEN & RESULTATEN

2.1 Detectiemethode

Voorafgaand aan de detectie is vastgesteld welke meetmethode het meest geschikt was voor het opsporingsgebied. De validatie vond plaats op basis van:

- de materiaalsoort van mogelijk aan te treffen explosieven (ferro- of non-ferrometalen) conform het vooronderzoek
- locatie specifieke informatie omtrent terrein- en bodemgesteldheid
- aanwezige boven- en ondergrondse infrastructuur in het onderzoeksgebied.

Op grond van de beschikbare informatie over toekomstige werkzaamheden ter plaatse van de N389 Ettenleur – Zevenbergen, het terrein en toestand van het onderzoeksgebied bleek non-realttime oppervlakedetectie met een passief multi-sensorsysteem de meest geschikte meetmethode.



Afb.2 - Deel van het onderzoeksgebied "N389 Ettenleur – Zevenbergen".

2.1.1 Verkeersmaatregelen projectgebied

Om de veiligheid van personeel en weggebruikers ter plaatse van het onderzoeksgebied te garanderen, zijn verkeersmaatregelen ter plaatse van het werkgebied door de firma BUKO Infraproject gehandhaafd.

De verkeersmaatregelen bestonden uit de toepassing van verkeersregelaars en een botsabsorber conform de CROW-richtlijnen.



Afb.3 – Verkeersregelaar en botsabsorber tijdens detectiewerkzaamheden.

2.1.2 Non-realtime oppervlakedetectie

De onderzoeklocatie met een detectie-oppervlakte van 101.647 m², is deels gedetecteerd met een multisensorsysteem van het merk Vallon. Het onderzoeksgebied is vooraf ingedeeld in 14 zoekvelden, welke systematisch zijn ingelopen.

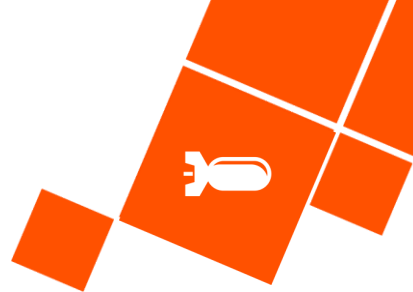
Het multi-sensorsysteem is een samenvoeging van 4 magnetometers samen met een GPS ontvanger gekoppeld aan een datalogger en gemonteerd op een rijdbaar frame.

De magnetometers meten verstoringen van het aardmagnetisch veld die worden veroorzaakt door ferro-metalen. De mogelijk aan te treffen ontplofbare oorlogsresten bevatten allen ferro-metalen (ijzerhoudende metalen).

De meetgegevens van de 4 magnetometers zijn opgeslagen in een datalogger waarna de gegevens in een later stadium zijn verwerkt in een speciaal voor dit doel ontwikkeld computerprogramma. De effectieve zoekdiepte van dit multi-sensorsysteem is (afhankelijk van de omgevingsfactoren) maximaal 4,50 m -mv.



Afb.4 – Non-realtime oppervlakedetectie MS-4 in het onderzoeksgebied.



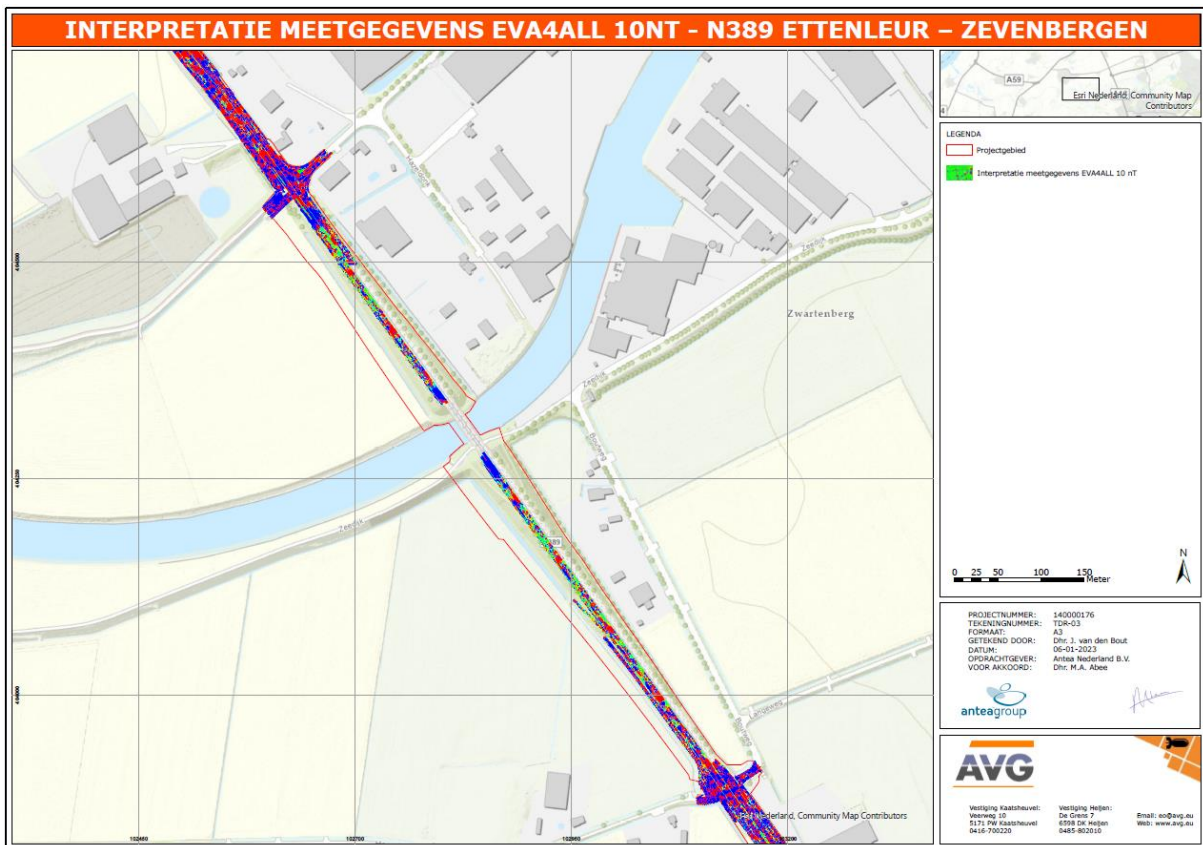
2.1.3 Interpretatie van de meetgegevens

De opgenomen detectiedata is verwerkt in het ondersteunende softwarepakket: Vallon EVA4ALL. Na verwerking in het evaluatieprogramma zijn vele verstoringen geconstateerd. De verstoringen zijn daarna geïnterpreteerd.

Voor het bepalen van de interpretatiecriteria is gebruik gemaakt van het vooronderzoek opgesteld door Bodac met kenmerk: 210125_H0018_VO_01, d.d. 25-01-2021 en het vooronderzoek "N389 Etten-Leur – Zevenbergen" opgesteld AVG met kenmerk: 143000040-VO-02, d.d. 06-07-2022. Met deze conclusie uit de rapportage is het onderzoeksgebied geïnterpreteerd met een nano-tesla waarde van 10 nT en 50 nT.

Bij de interpretatie van de gegevens, worden de door EVA aangewezen verdachte objecten door de senior deskundige OOO afzonderlijk geïnterpreteerd, rekening houdend met de navolgende factoren.

- de diepteligging van het object. Deze beïnvloedt het magnetisch veld en de magnetische waarde (d.w.z. hoe dieper het object ligt, hoe kleiner de meetwaarde)
- de hoek waaronder het object ligt. Wanneer een object bijvoorbeeld vrijwel verticaal in de bodem staat, wordt vaak alleen een positief of negatief gemeten. Door de hoek meet men tevens een kleine afwijking, dat in de praktijk echter wel degelijk groot kan blijken te zijn
- de omgevingsfactoren van het object. Zo kunnen in de nabijheid liggende versturende elementen de meting beïnvloeden waardoor de wiskundige berekeningen worden beïnvloed.



Afb.5 – Non-realtime oppervlakedetectie "N389 Ettenleur – Zevenbergen".



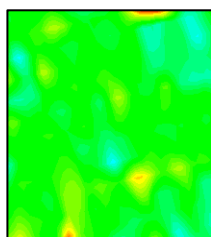


De combinatie van de diepteligging, de maximale nT-waarde, het magnetisch moment en de fitting-area (oppervlakte waarbinnen het object is gedetecteerd) is van invloed op het bepalen of een object als verdacht wordt aangemerkt. Bijvoorbeeld een object met een ondiepe ligging, een hoge nT-waarde en lage fitting-area kan duiden op een niet-verdacht object. Er bestaat geen "perfecte" combinatie tussen deze waarden.

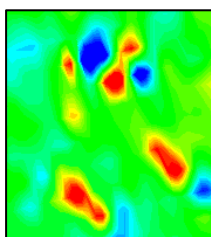
Immers, als deze had bestaan zouden dankzij het softwareprogramma enkel en alleen ontplofbare oorlogsresten benaderd worden. Helaas laat de praktijk zien dat het merendeel van de verdachte objecten geen ontplofbare oorlogsrestanten zijn.

De significante objecten worden weergegeven in een objectenlijst en worden in categorieën als volgt gerapporteerd:

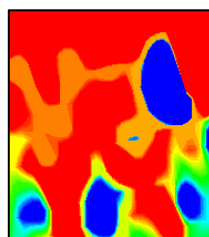
- A. Gebied(en) zonder verdachte objecten (directe vrijgave voor vervolgwerkzaamheden).
- B. Gebied(en) met individuele verdachte objecten (conform objectenlijst).
- C. Gebied(en) met een dusdanige verstoring van de detectiedata dat er geen individuele objecten kunnen worden geselecteerd.
- D. Gebied(en) die door de aanwezige bovengronds obstakels (b.v. afrastering, begroeiing) niet gedetecteerd kunnen worden.



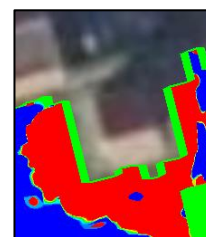
Categorie A



Categorie B



Categorie C



Categorie D

Bovenstaande weergaven laten een digitale opname met rode en blauwe kleuren zien. De rode kleur geeft de positieve magnetische veldlijnen weer. De negatieve magnetische veldlijnen worden als blauw weergegeven. Afhankelijk van de magnetische polarisatie zal ijzerhoudend materiaal (zoals afwerpmunitie) het verloop van deze magnetische veldlijnen veranderen. Met behulp van formules kan het EVA4ALL evaluatieprogramma de afwijkingen van het magnetisch veld berekenen.

De geregistreeerde ferromagnetische verstoringen worden veroorzaakt door ijzerhoudende objecten. Gedetecteerde objecten kunnen van voor, tijdens of na de Tweede Wereldoorlog zijn. Daarnaast kunnen ze een menselijke of natuurlijke oorsprong hebben.

Het is dus niet met zekerheid te zeggen dat de ferromagnetische verstoringen veroorzaakt worden door ontplofbare oorlogsresten.



Afb.6 – Non-realttime oppervlakedetectie en verkeermaatregelen in het onderzoeksgebied.



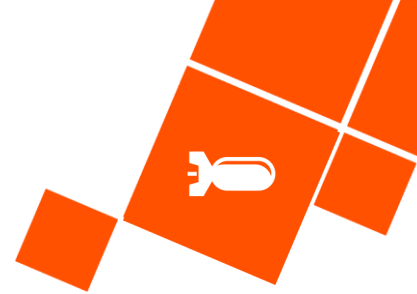
2.1.4 Resultaten detectie en interpretatie

Projectlocatie:

- Gebied A: In het onderzoeksgebied die gedetecteerd en geïnterpreteerd op 10 nT, zijn binnen een oppervlakte van 1.260 m² geen verdachte objecten waargenomen en is als groen weergegeven. Het gebied beslaat 1,24 % van het totale onderzoeksgebied. De A gebieden zijn in groen weergegeven op de overzichtstekeningen in bijlage 4.1
- Gebied B: Na analyse en interpretatie van de detectiedata zijn 545 objecten aangemerkt als zijnde verdacht op mogelijke ontplofbare oorlogsresten. Het gebied waarbinnen de verdachte objecten zijn waargenomen heeft een totale grootte van 12.999 m² en beslaat 12,79 % van het totale onderzoeksgebied. Het gebied waarbinnen de verdachte objecten zijn gekenmerkt, zijn in blauw weergegeven op de overzichtstekening in bijlage 4.1
- Gebied C: Er is gebleken dat na analyse en interpretatie van de meetdata op 10 nT, het separaat aanmerken van verdachte objecten door zware ferro verstoring in een deel van het opsporingsgebied niet mogelijk is. De verstoringen worden mogelijk veroorzaakt ferro vervuiling in de bodem. Dit ferro verstoorde gebied heeft een totale oppervlakte van 56.725 m² en beslaat 55,80 % van het totale onderzoeksgebied. De verstoorde gebieden zijn in rood weergegeven op de overzichtstekening in bijlage 4.1.
- Gebied D: Vanwege aanwezigheid van bomen, begroeiing, taluds en geen betredingstoestemming in het opsporingsgebied, was geen detectie mogelijk en heeft een oppervlakte van 30.663 m² en beslaat 30,17 % van het totale onderzoeksgebied en is in donkerblauw weergegeven op de overzichtstekening in bijlage 4.1.



Afb.7 – Talud en bomen in het opsporingsgebied.



3 AANBEVELING

Voor de in hoofdstuk 2.2 benoemde projectlocatie adviseert AVG het volgende:

3.1 Gebied A

Binnen gebied A zijn geen verdacht gebieden waargenomen. Vooruitlopend op de vervolgwerkzaamheden mogen binnen gebied A eventueel grondroerende werkzaamheden regulier worden uitgevoerd tot een maximum van 2,50 m -mv ter plaatse van de projectlocatie.

3.2 Gebied B

Voorafgaand aan grondroerende werkzaamheden adviseert AVG de geïnterpreteerde 545 verdachte objecten te worden benaderen en geïdentificeerd, waarna zekerheid kan worden gegeven over de aard en herkomst van de objecten. Nadat alle verdachte objecten zijn geïdentificeerd worden deze veiliggesteld of verwijderd zodat het opsporingsgebied tot 2,50 m -mv kan worden vrijgegeven van ontplofbare oorlogsresten.

3.3 Gebied C

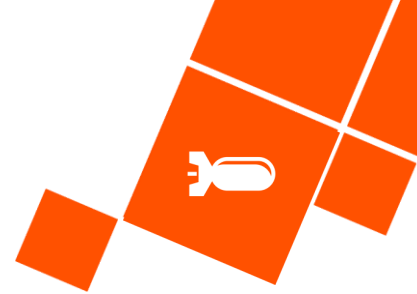
AVG adviseert middels non-realttime actieve oppervlakedetectie een proefmeting op diverse plekken binnen het verstoorde gebied uit te voeren om te beoordelen of dit een positieve meerwaarde heeft om de resterende delen binnen het verstoorde gebied ook te detecteren.

Indien non-realttime actieve oppervlakedetectie geen positief resultaat weergeeft, zal voorafgaand aan de grondroerende werkzaamheden, gebied C gecontroleerd laagsgewijs gedetecteerd dienen te worden. De diepte van de verstoorde laag is vooraf niet te bepalen en wordt tijdens het laagsgewijs detecteren en ontgraven bekend. Nadat de verstoorde laag is onderzocht en verwijderd kan een reguliere detectie worden uitgevoerd en eventueel waargenomen verdachte objecten worden benaderd.

Laagsgewijze detectie betreft het cyclisch detecteren van een bodemlaag, waarna deze vrijgegeven laag machinaal kan worden verwijderd. Nadat de eerste laag is verwijderd kan een volgende bodemlaag worden gedetecteerd tot de harde waterbodem of totdat reguliere realtime detectie weer mogelijk is.

Indien bij de reguliere realtime detectie verdacht objecten worden waargenomen, dienen deze verdacht objecten te worden benaderd om het opsporingsgebied te kunnen vrijwaren van ontplofbare oorlogsresten.

AVG adviseert de milieukundige- en archeologische boringen onder begeleiding op 1 dag uit te voeren zodat deze op een verantwoorde en veilige wijze worden uitgevoerd.



3.4 Gebied D

Binnen de gebieden D bevinden zich o.a. begroeiing, bomen, taluds en locaties zonder betredingstoestemming. Bij eventuele grondroerende werkzaamheden in gebieden D, dienen de opsporingslocaties waar de begroeiing, bomen en taluds bevinden middels realtime oppervlakedetectie te worden onderzocht op mogelijke aanwezigheid van ontplofbare oorlogsresten. Indien bij deze realtime detectie, verdachte objecten worden waargenomen zullen na identificatie de verstoringen worden verwijderd om het opsporingsgebied alsnog te kunnen vrijwaren van ontplofbare oorlogsresten.

Na toestemming van de landeigenaren kunnen betreffende opsporingslocaties middels non-realtime oppervlakedetectie worden gedetecteerd en worden geïnterpreteerd op mogelijke aanwezigheid van ontplofbare oorlogsresten.

3.5 Advies vervolgwerkzaamheden

AVG adviseert 1 werkdag non-realtime actieve oppervlakedetectie uit te voeren om de effectiviteit van de detectie weer te geven.

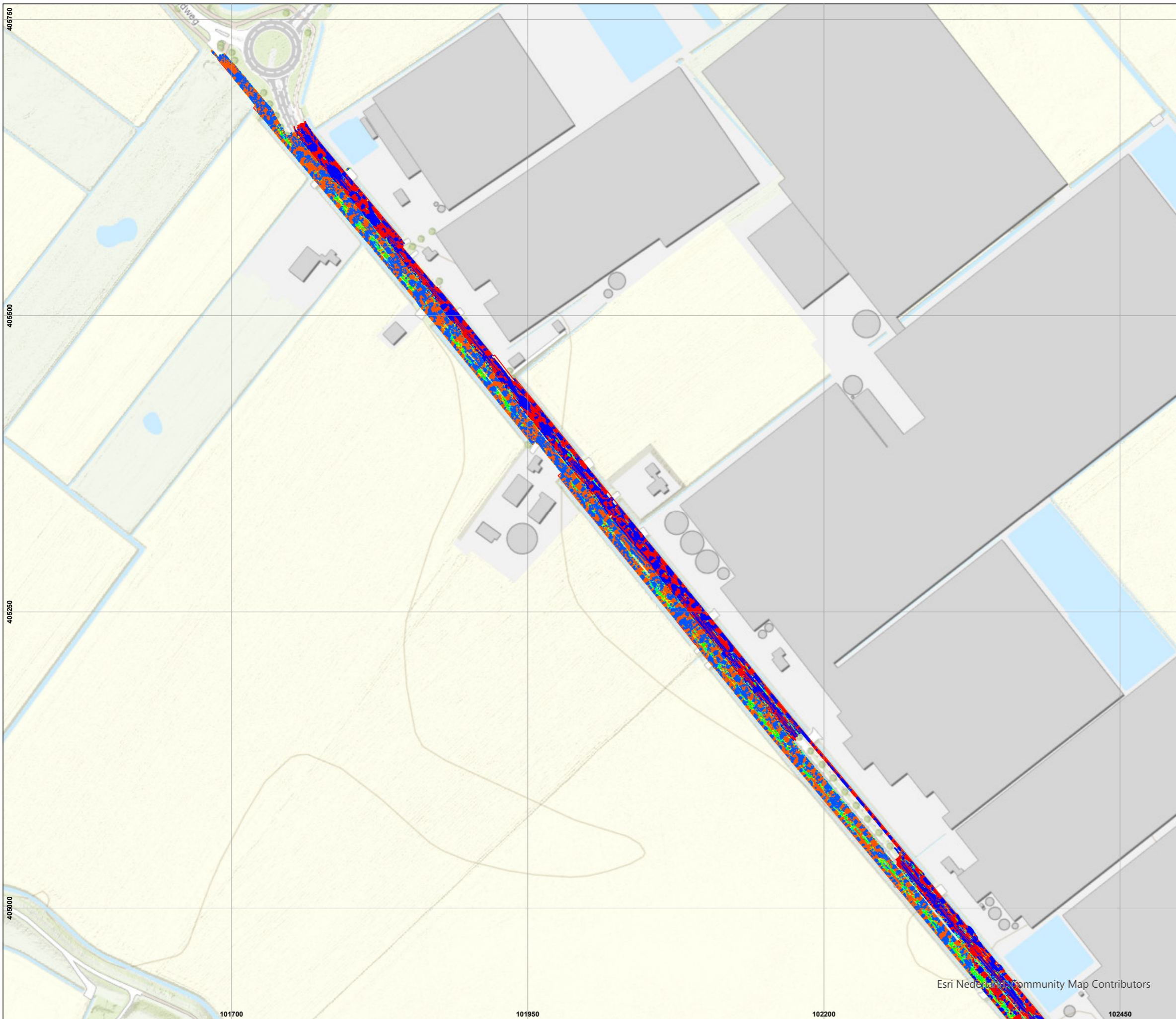
Om de herkomst van de gedetecteerde verdachte objecten te achterhalen, adviseert AVG om in 2 werkdagen proefbenadering uit voeren.



4 BIJLAGEN

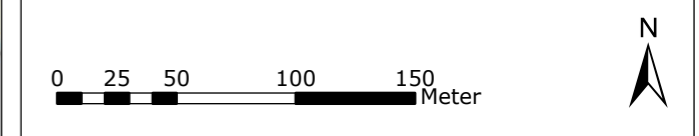
4.1 Overzichtstekeningen meetresultaten 10 nT

INTERPRETATIE MEETGEGEVENS EVA4ALL 10NT - N389 ETTENLEUR – ZEVENBERGEN



LEGENDA

- Projectgebied
- Interpretatie meetgegevens EVA4ALL 10 nT

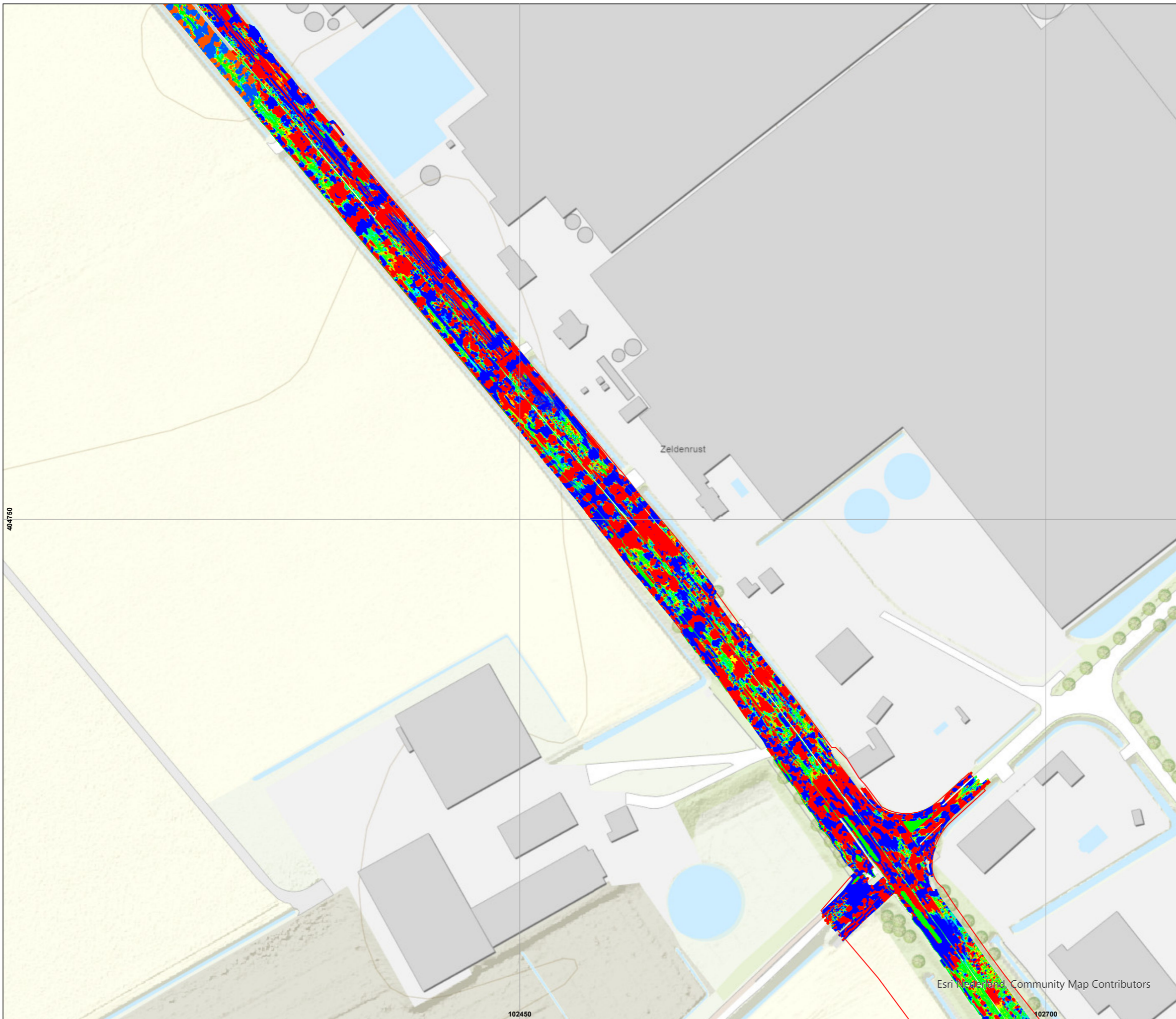


PROJECTNUMMER: 140000176
TEKENINGNUMMER: TDR-01
FORMAAT: A3
GETEKEND DOOR: Dhr. J. van den Bout
DATUM: 06-01-2023
OPDRACHTGEVER: Antea Nederland B.V.
VOOR AKKOORD: Dhr. M.A. Abee

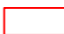
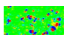


Vestiging Kaatsheuvel: 5171 PW Kaatsheuvel 0416-700220
Vestiging Heijen: De Grens 7 6598 DK Heijen 0485-802010
Email: eo@avg.eu
Web: www.avg.eu


INTERPRETATIE MEETGEGEVENS EVA4ALL 10NT - N389 ETTENLEUR – ZEVENBERGEN



LEGENDA

-  Projectgebied
-  Interpretatie meetgegevens EVA4ALL 10 nT

0 12,5 25 50 75 Meter



PROJECTNUMMER:	140000176
TEKENINGNUMMER:	TDR-02
FORMAAT:	A3
GETEKEND DOOR:	Dhr. J. van den Bout
DATUM:	06-01-2023
OPDRACHTGEVER:	Antea Nederland B.V.
VOOR AKKOORD:	Dhr. M.A. Abee

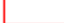
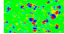


Vestiging Kaatsheuvel: Veerweg 10 5171 PW Kaatsheuvel 0416-700220	Vestiging Heijen: De Grens 7 6598 DK Heijen 0485-802010	Email: eo@avg.eu Web: www.avg.eu
--	--	-------------------------------------


INTERPRETATIE MEETGEGEVENS EVA4ALL 10NT - N389 ETTENLEUR – ZEVENBERGEN



LEGENDA

-  Projectgebied
-  Interpretatie meetgegevens EVA4ALL 10 nT

0 25 50 100 150 Meter



PROJECTNUMMER:	140000176
TEKENINGNUMMER:	TDR-03
FORMAAT:	A3
GETEKEND DOOR:	Dhr. J. van den Bout
DATUM:	06-01-2023
OPDRACHTGEVER:	Antea Nederland B.V.
VOOR AKKOORD:	Dhr. M.A. Abee



Vestiging Kaatsheuvel: Veerweg 10 5171 PW Kaatsheuvel 0416-700220	Vestiging Heijen: De Grens 7 6598 DK Heijen 0485-802010	Email: eo@avg.eu Web: www.avg.eu
--	--	--

404500

404250

404000

102450

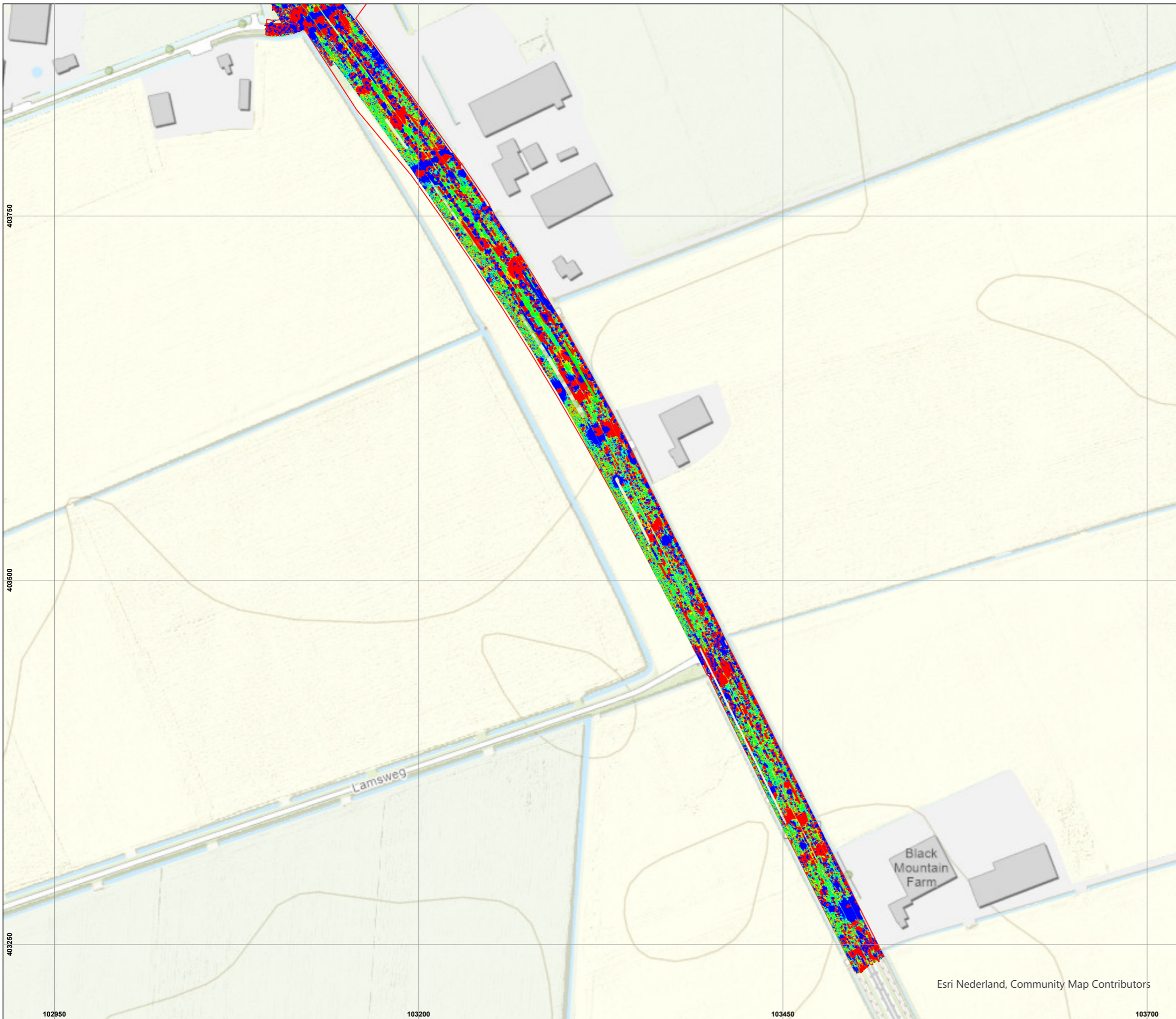
102700

102950

103200

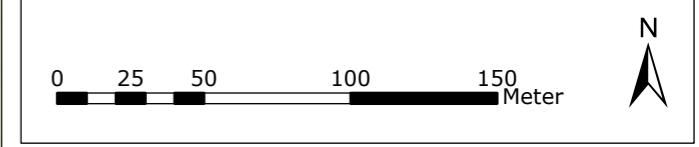
Esri Nederland, Community Map Contributors

INTERPRETATIE MEETGEGEVENS EVA4ALL 10NT - N389 ETTENLEUR – ZEVENBERGEN



LEGENDA

- Projectgebied
- Interpretatie meetgegevens EVA4ALL 10 nT



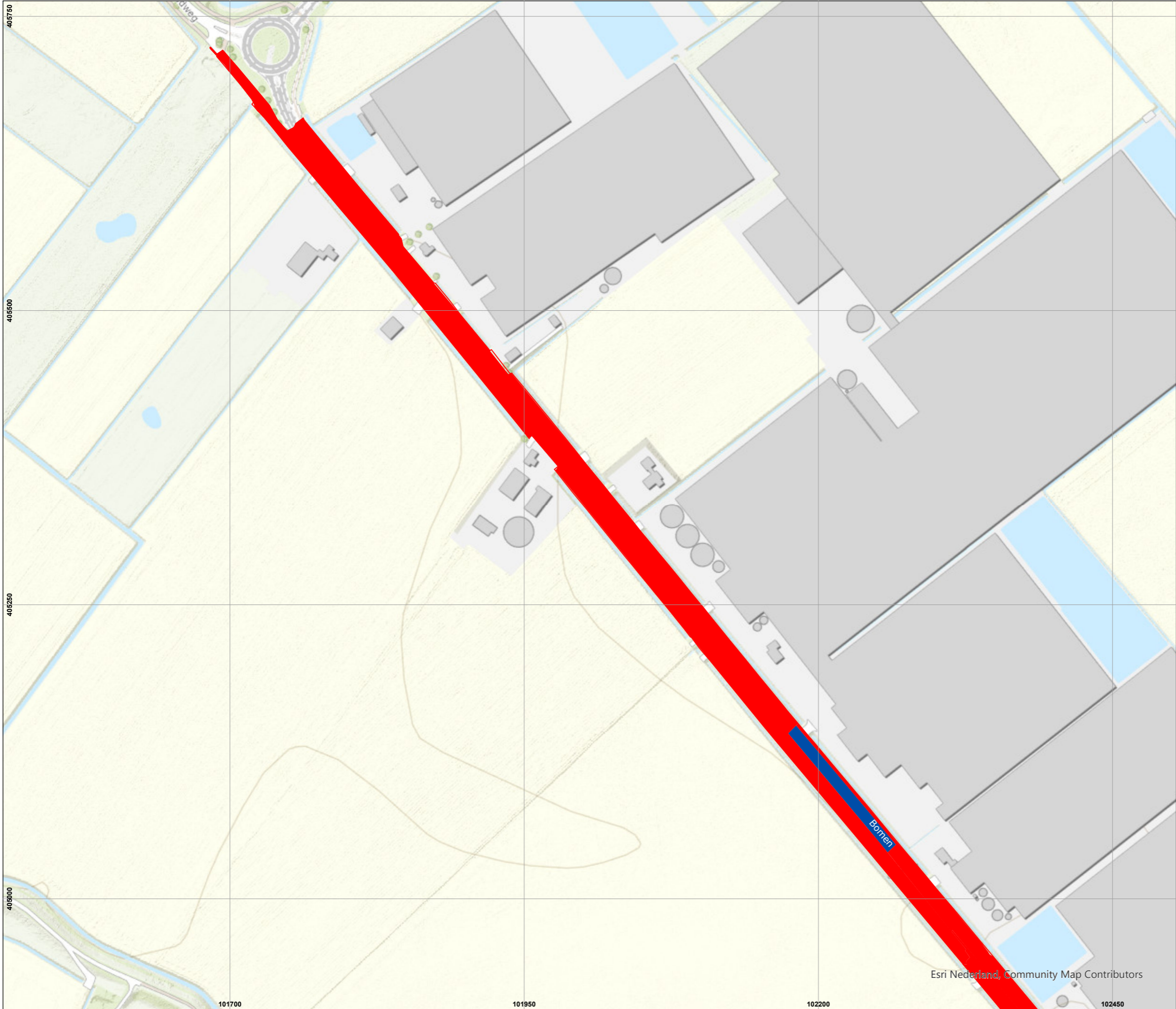
PROJECTNUMMER: 140000176
TEKENINGNUMMER: TDR-04
FORMAAT: A3
GETEKEND DOOR: Dhr. J. van den Bout
DATUM: 06-01-2023
OPDRACHTGEVER: Antea Nederland B.V.
VOOR AKKOORD: Dhr. M.A. Abee



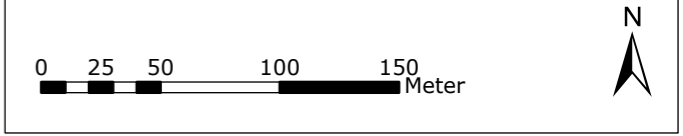
Vestiging Kaatsheuvel: Veerweg 10, 5171 PW Kaatsheuvel, 0416-700220
Vestiging Heijen: De Grens 7, 6598 DK Heijen, 0485-802010
Email: eo@avg.eu
Web: www.avg.eu

Esri Nederland, Community Map Contributors

DETECTIERESULTATEN - N389 ETTENLEUR – ZEVENBERGEN



- LEGENDA**
- Projectgebied
 - Gebied C: verstoord gebied
 - Gebied D: niet te detecteren

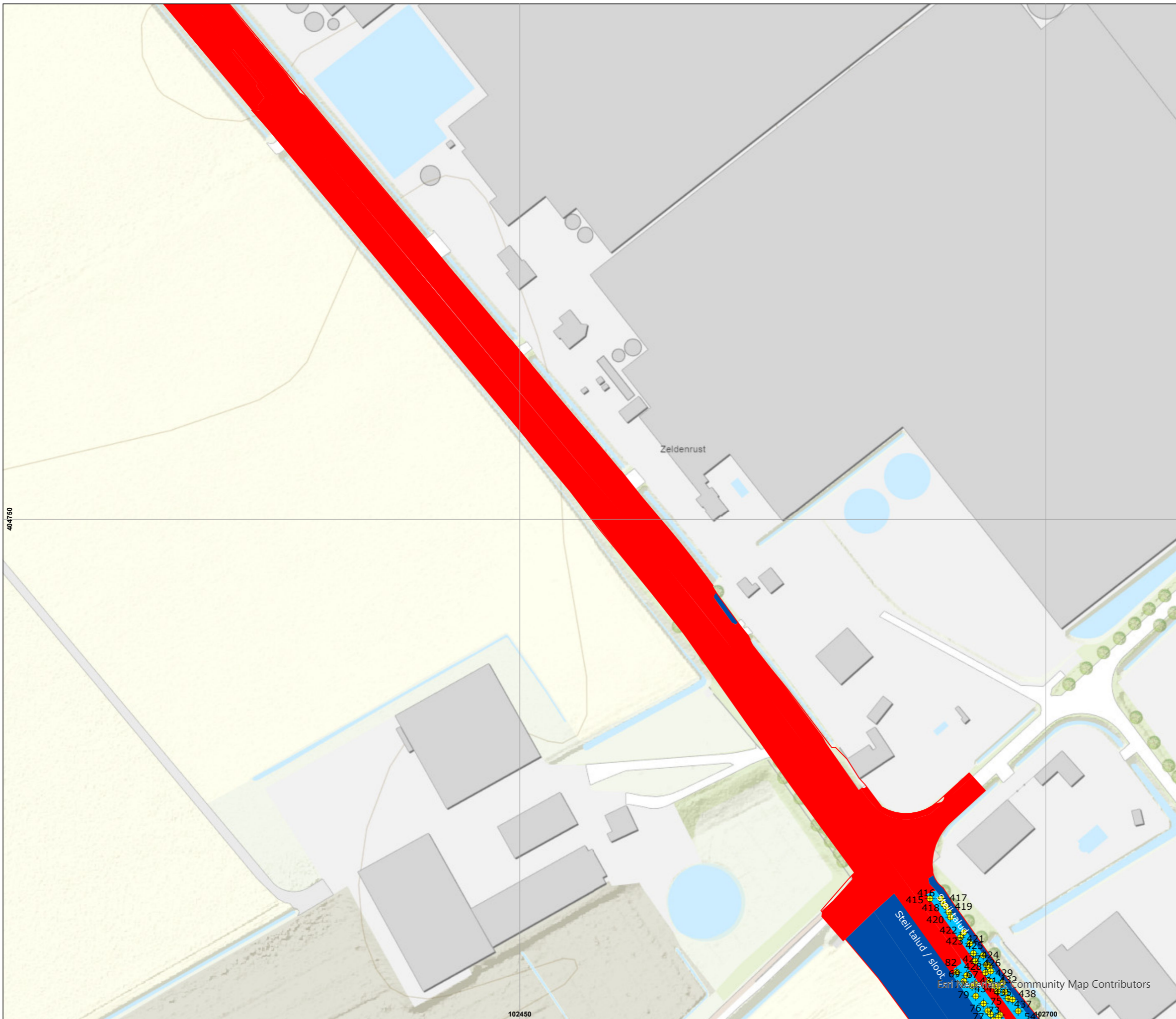


PROJECTNUMMER: 140000176
TEKENINGNUMMER: TDR-5
FORMAAT: A3
GETEKEND DOOR: Dhr. J. van den Bout
DATUM: 06-01-2023
OPDRACHTGEVER: Antea Nederland B.V.
VOOR AKKOORD: Dhr. M.A. Abee

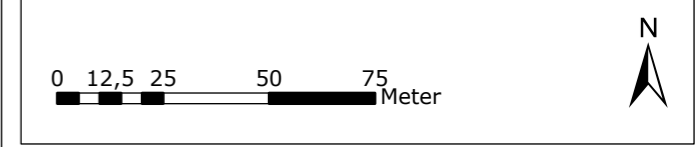


Vestiging Kaatsheuvel: Vestiging Heijen:
Veerweg 10 De Grens 7
5171 PW Kaatsheuvel 6598 DK Heijen
0416-700220 0485-802010
Email: eo@avg.eu
Web: www.avg.eu

DETECTIERESULTATEN - N389 ETTENLEUR – ZEVENBERGEN



- LEGENDA
- Projectgebied
 - Verdachte objecten
 - Gebied B: verdachte objecten aanwezig
 - Gebied C: verstoord gebied
 - Gebied D: niet te detecteren



PROJECTNUMMER: 140000176
TEKENINGNUMMER: TDR-6
FORMAAT: A3
GETEKEND DOOR: Dhr. J. van den Bout
DATUM: 06-01-2023
OPDRACHTGEVER: Antea Nederland B.V.
VOOR AKKOORD: Dhr. M.A. Abee

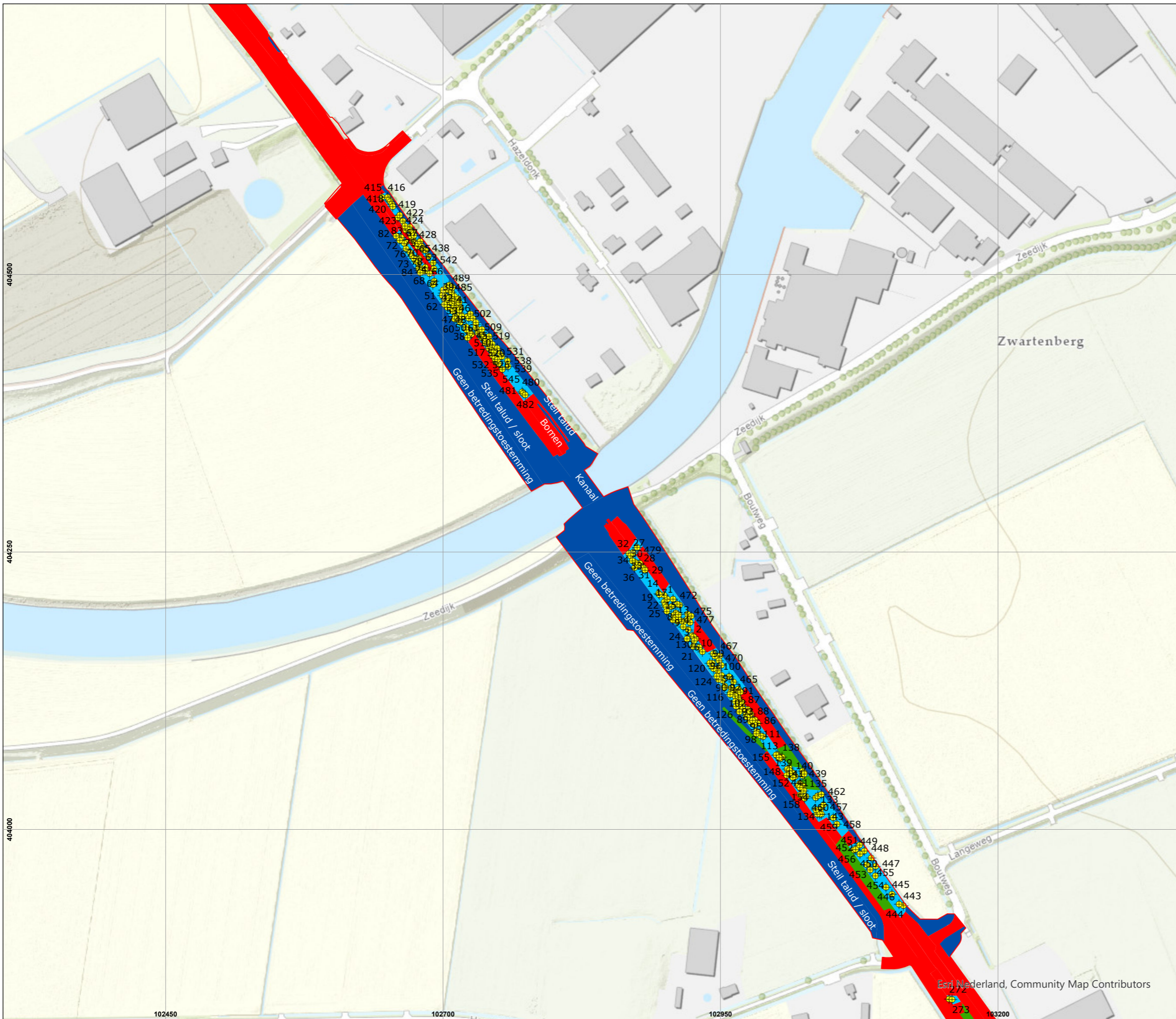


Vestiging Kaatsheuvel: 5171 PW Kaatsheuvel 0416-700220

Vestiging Heijen: De Grens 7 6598 DK Heijen 0485-802010

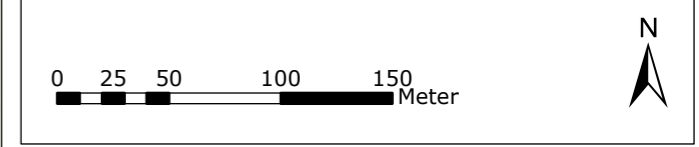
Email: eo@avg.eu
Web: www.avg.eu

DETECTIERESULTATEN - N389 ETTENLEUR – ZEVENBERGEN



LEGENDA

- Projectgebied
- + Verdachte objecten
- Gebied A: vrij van verdachte objecten
- Gebied B: verdachte objecten aanwezig
- Gebied C: verstoord gebied
- Gebied D: niet te detecteren



PROJECTNUMMER:	140000176
TEKENINGNUMMER:	TDR-7
FORMAAT:	A3
GETEKEND DOOR:	Dhr. J. van den Bout
DATUM:	06-01-2023
OPDRACHTGEVER:	Antea Nederland B.V.
VOOR AKKOORD:	Dhr. M.A. Abee

[Handwritten Signature]

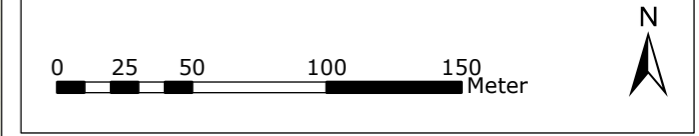



Vestiging Kaatsheuvel: Veerweg 10 5171 PW Kaatsheuvel 0416-700220	Vestiging Heijen: De Grens 7 6598 DK Heijen 0485-802010	Email: eo@avg.eu Web: www.avg.eu
--	--	-------------------------------------

DETECTIERESULTATEN - N389 ETTENLEUR – ZEVENBERGEN



- LEGENDA**
- Projectgebied
 - ◆ Verdachte objecten
 - Gebied A: vrij van verdachte objecten
 - Gebied B: verdachte objecten aanwezig
 - Gebied C: verstoord gebied
 - Gebied D: niet te detecteren



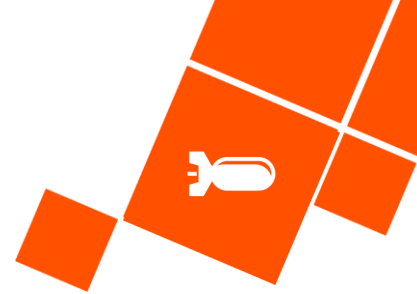
PROJECTNUMMER: 140000176
TEKENINGNUMMER: TDR-8
FORMAAT: A3
GETEKEND DOOR: Dhr. J. van den Bout
DATUM: 06-01-2023
OPDRACHTGEVER: Antea Nederland B.V.
VOOR AKKOORD: Dhr. M.A. Abee





Vestiging Kaatsheuvel: Vestiging Heijen:
 Veerweg 10 De Grens 7
 5171 PW Kaatsheuvel 6598 DK Heijen
 0416-700220 0485-802010

Email: eo@avg.eu
 Web: www.avg.eu



4.2 Objectenlijsten

Enkele objectlocaties bevatten afwijkende meetwaarde. Deze zullen tijdens benaderwerkzaamheden nader worden onderzocht op de herkomst van deze afwijking.

Nr.	X-Coörd.	Y-Coörd.	Diepte	Max-Waarde nT	Magn. Moment Am ²	LSQ nT	Fit-Area m ²
1	102902,14	404207,44	0,50	105	0,034	3,00	1,75
2	102927,76	404171,89	0,28	213	0,387	20,1	2,79
3	102917,13	404186,76	0,17	668	0,606	32,3	4,49
4	102920,99	404179,99	0,16	54	0,044	5,3	3,29
5	102924,58	404174,60	0,62	99	0,523	6,7	2,39
6	102925,93	404173,34	0,54	251	1,232	33,1	5,79
7	102914,91	404187,97	0,18	87	0,152	6,7	5,59
8	102905,81	404200,68	0,48	51	0,209	4,8	1,5
9	102909,77	404194,95	0,40	198	0,767	17,7	9,59
10	102926,44	404170,14	0,40	189	0,723	9,4	6,19
11	102899,22	404211,25	1,49	142	21,82	70,2	4,59
12	102916,50	404182,68	0,36	166	0,533	20,6	4,59
13	102911,35	404189,32	0,29	104	0,129	16,9	0,8
14	102894,35	404212,70	0,24	28	0,051	5	1,64
15	102908,02	404193,18	0,16	47	0,047	6,3	2,69
16	102909,23	404190,69	0,29	25	0,058	4,3	1,64
17	102899,34	404205,04	0,26	23	0,05	2,5	2,79
18	102910,87	404187,63	0,36	22	0,075	2,1	2,69
19	102894,99	404211,38	1,48	48	2,705	9,1	8,59
20	102912,14	404189,00	0,21	146	0,249	13,5	3,84
21	102925,37	404164,76	0,73	29	0,572	3,4	3,79
22	102900,21	404202,05	0,19	68	0,094	4,6	2,54
23	102901,16	404200,29	0,27	33	0,068	4,1	3,14
24	102919,87	404171,66	0,37	77	0,189	3,5	2,24
25	102901,71	404196,52	2,4	35	5,293	8,1	10,48
26	102907,22	404188,78	1,67	57	4,653	6,5	3,89
27	102871,29	404249,75	0,41	2507	6,738	53,5	5,99
28	102880,74	404235,76	0,90	121	1,662	11,6	2,39
29	102882,13	404233,68	0,13	50	0,042	29,4	4,44
30	102877,36	404239,64	0,27	373	0,428	27,6	15,86
31	102876,06	404238,33	0,56	22	0,104	8,1	4,19
32	102867,53	404248,85	0,22	40	0,081	10	5,09
33	102869,17	404246,29	0,25	28	0,048	5,7	0,9
34	102873,33	404240,55	0,38	1067	1,986	13,9	9,59
35	102870,65	404241,90	0,55	19	0,126	13,9	20,48
36	102872,64	404235,78	0,19	183	0,356	12,8	2,84
37	102724,02	404448,79	0,55	348	1,672	24,8	4,19



Nr.	X-Coörd.	Y-Coörd.	Diepte	Max-Waarde nT	Magn. Moment Am ²	LSQ nT	Fit-Area m ²
38	102725,70	404446,24	0,10	84	0,074	10,9	3,99
39	102702,23	404480,26	0,39	163	0,363	8,6	1,4
40	102704,01	404477,84	0,44	359	0,908	21,1	2,09
41	102706,14	404475,04	0,61	159	0,788	9,1	2,54
42	102709,21	404470,46	0,21	194	0,364	49,2	4,19
43	102720,92	404453,00	0,63	320	1,899	30,4	10,19
44	102700,03	404483,30	0,30	142	0,297	10	4,64
45	102723,98	404447,22	0,09	81	0,047	9,6	1,59
46	102714,24	404460,76	0,14	101	0,069	9,9	1,89
47	102715,19	404459,50	0,29	39	0,045	4,7	1,2
48	102721,04	404450,37	0,49	56	0,231	4,9	4,59
49	102708,59	404468,14	0,47	33	0,17	6,5	2,39
50	102713,27	404461,07	0,10	28	0,036	20,3	2,24
51	102699,40	404480,97	0,78	18	0,202	6,3	2,84
52	102701,54	404477,73	0,42	64	0,328	7,4	2,79
53	102702,70	404476,34	0,24	141	0,13	17,5	3,29
54	102703,54	404474,77	0,20	164	0,174	12,4	6,74
55	102715,54	404456,85	0,17	62	0,088	3,9	2,69
56	102708,89	404466,91	0,65	29	0,233	4,7	3,79
57	102710,68	404461,73	2,05	286	35,485	51	10,68
58	102711,78	404460,04	1,21	161	4,48	28,8	10,89
59	102704,03	404470,13	0,60	43	0,406	7,8	6,74
60	102710,32	404459,91	0,00	23	0,04	38,4	1,5
61	102722,06	404443,06	0,79	32	0,317	10,7	0,8
62	102701,13	404473,11	0,88	22	0,277	3,4	1,89
63	102684,08	404506,71	0,38	675	1,528	32,2	4,29
64	102687,92	404500,97	0,20	380	0,55	16,5	3,14
65	102678,30	404514,39	0,34	199	0,304	8,4	1,5
66	102692,16	404493,84	0,28	110	0,138	7,1	5,44
67	102666,55	404529,10	0,96	1148	24,401	94,6	12,24
68	102683,82	404503,34	0,78	84	0,71	5,2	3,89
69	102662,39	404533,35	0,32	71	0,17	5,3	3,14
70	102677,54	404510,56	0,21	24	0,039	5,8	2,09
71	102690,94	404491,05	0,63	111	0,515	10,8	5,19
72	102665,03	404528,24	0,00	63	0,065	20,5	6,89
73	102675,33	404512,03	0,04	38	0,066	36	2,24
74	102677,51	404513,36	1,05	270	7,977	17,3	7,79
75	102670,46	404519,86	1,04	157	3,756	12,8	7,64
76	102672,42	404516,42	0,24	44	0,064	7,1	1,69
77	102673,78	404514,79	0,21	145	0,214	6,8	2,54
78	102681,93	404502,92	0,24	102	0,176	23,1	6,59



Nr.	X-Coörd.	Y-Coörd.	Diepte	Max-Waarde nT	Magn. Moment Am ²	LSQ nT	Fit-Area m ²
79	102666,70	404523,32	1,64	70	5,112	11,6	7,39
80	102678,99	404505,88	0,17	26	0,035	6,4	3,24
81	102678,12	404505,77	0,89	15	0,324	5,8	3,24
82	102657,71	404534,76	1,04	33	1,631	20	4,79
83	102661,07	404530,56	0,91	28	0,473	3,4	5,54
84	102678,83	404504,04	0,37	40	0,127	7,4	3,89
85	102679,48	404501,58	0,29	99	0,239	12,4	4,59
86	102983,60	404095,77	0,16	583	0,537	29,6	1,2
87	102974,81	404107,99	0,17	1669	2,456	84,4	5,24
88	102977,50	404104,20	0,35	2104	3,779	393,3	3,99
89	102981,04	404098,86	0,24	549	0,59	56,6	4,69
90	102961,92	404125,57	0,30	967	1,466	41,9	1,79
91	102963,71	404122,89	0,40	447	1,068	13,5	1,79
92	102966,17	404119,11	0,29	1419	3,439	113,1	5,94
93	102969,15	404115,00	0,22	745	1,091	68	9,24
94	102959,92	404127,41	0,12	37	0,033	2,9	0,5
95	102976,47	404101,73	0,50	41	0,184	4,7	1,2
96	102951,10	404138,78	0,29	275	0,524	29,5	3,44
97	102974,02	404104,80	0,46	20	0,155	3,7	1,5
98	102988,43	404083,61	0,44	85	0,274	32,5	5,94
99	102942,80	404149,60	0,44	250	0,687	15,9	3,44
100	102946,57	404144,63	0,19	119	0,218	6	2,09
101	102947,57	404143,15	0,25	208	0,307	16,5	2,59
102	102961,25	404122,61	0,50	153	0,927	14,2	3,89
103	102962,33	404121,23	0,46	52	0,163	9,7	2,54
104	102963,12	404120,12	0,30	117	0,177	8,9	2,79
105	102980,47	404094,17	0,07	45	0,033	6,9	1,2
106	102966,81	404113,77	0,66	47	0,488	17,2	1,79
107	102968,11	404111,96	0,13	401	0,171	8,4	4,19
108	102969,42	404112,74	0,79	167	1,591	44,2	11,19
109	102970,18	404108,75	0,75	66	0,628	5,7	2,99
110	102972,77	404102,97	2,84	64	17,734	16,1	14,78
111	102982,69	404088,54	1,49	46	2,427	8,9	6,39
112	102977,08	404097,13	1,66	560	31,591	81,7	22,33
113	102986,14	404084,31	1,54	89	4,45	14,7	12,89
114	102951,97	404134,32	0,15	56	0,06	8,2	3,29
115	102959,09	404123,40	0,36	31	0,091	13,9	2,89
116	102958,77	404121,50	0,92	46	0,705	12,8	5,49
117	102974,28	404101,03	0,24	66	0,087	31,1	0,9
118	102940,40	404150,00	0,32	37	0,092	8,5	3,14
119	102963,46	404115,28	1,00	89	1,997	12,6	18,73



Nr.	X-Coörd.	Y-Coörd.	Diepte	Max-Waarde nT	Magn. Moment Am ²	LSQ nT	Fit-Area m ²
120	102942,29	404147,23	0,54	93	0,415	11,8	3,74
121	102943,76	404144,82	0,60	52	0,308	8,8	2,09
122	102953,97	404129,34	0,16	98	0,082	5,8	1,69
123	102982,36	404086,15	0,29	21	0,055	7,3	3,14
124	102948,32	404135,17	0,64	26	0,292	20,2	6,51
125	102953,72	404127,78	1,22	19	0,552	13,1	9,19
126	102967,09	404105,90	1,98	21	3,31	4,9	3,89
127	102946,66	404138,02	0,85	396	4,8	77,8	21,28
128	102964,03	404110,81	0,17	107	0,077	10,6	2,39
129	102933,78	404160,11	0,38	65	0,297	35,1	23,98
130	102930,93	404164,22	0,94	180	2,343	20,8	6,39
131	102978,95	404098,19	0,42	43	0,133	3,5	3,46
132	102912,16	404193,79	0,25	586	0,948	41,1	11,42
133	103040,22	404018,17	0,28	1212	2,461	56	5,19
134	103040,92	404013,90	0,97	105	1,514	18,9	6,29
135	103024,22	404039,04	0,56	425	1,795	48,9	2,39
136	103017,51	404047,96	0,59	251	1,253	32,4	2,99
137	103023,78	404036,91	0,23	145	0,317	5,1	5,69
138	103005,60	404065,28	0,41	825	1,788	82,8	5,24
139	103014,83	404051,25	0,36	250	0,529	13,6	2,39
140	103011,93	404055,15	0,28	30	0,056	2,7	2,24
141	103021,30	404041,34	0,60	67	0,795	31	10,19
142	103025,08	404034,97	0,22	21	0,033	3,8	1,64
143	103039,38	404013,87	0,10	79	0,028	26,3	2,99
144	103037,23	404013,90	0,32	236	0,616	12,9	26,08
145	103001,57	404067,31	0,18	22	0,037	79,2	4,94
146	103002,63	404065,79	0,81	72	0,758	14,6	5,09
147	103004,10	404063,79	0,57	40	0,408	6,6	4,04
148	103010,16	404054,41	0,35	31	0,064	5,3	3,14
149	103014,59	404048,36	0,15	376	0,268	24	7,19
150	103015,33	404046,64	0,25	144	0,296	45,6	7,19
151	103012,07	404052,98	0,73	77	0,666	12	3,79
152	103012,27	404050,62	0,36	24	0,071	2,2	1,79
153	103020,21	404039,42	0,39	27	0,086	12,5	4,94
154	103021,60	404037,81	2,06	22	3,113	6,9	4,49
155	103000,13	404067,20	0,21	414	0,647	19,1	3,14
156	103002,86	404064,82	1,62	44	4,264	11,6	5,49
157	103025,91	404028,18	2,93	74	33,244	19,6	51,05
158	103021,78	404031,09	0,23	178	0,276	15,6	4,99
159	103009,76	404048,82	1,92	75	18,338	16	4,99
160	103036,13	404017,59	1,37	60	2,36	6,4	12,83



Nr.	X-Coörd.	Y-Coörd.	Diepte	Max-Waarde nT	Magn. Moment Am ²	LSQ nT	Fit-Area m ²
161	103027,10	404029,83	0,26	77	0,221	4,3	4,94
162	103478,83	403286,90	0,46	387	1,504	54,3	3,51
163	103496,30	403261,85	0,71	61	7,922	64,2	1,21
164	103492,82	403263,53	0,41	49	0,18	8,6	3,47
165	103485,78	403273,84	1,47	26	7,95	41,1	4,72
166	103483,69	403274,60	0,72	1184	7,364	107,3	15,66
167	103476,60	403283,13	0,45	99	0,215	16,2	3,14
168	103486,85	403270,36	0,33	76	0,087	10,1	5,35
169	103487,03	403268,54	0,70	18	0,183	10,9	6,08
170	103480,64	403277,41	0,92	247	3,148	21,7	9,75
171	103478,48	403280,35	0,70	148	0,814	64	5,88
172	103488,44	403265,49	0,82	21	0,201	4	1,64
173	103490,42	403262,03	0,51	42	0,23	10,3	3
174	103486,25	403265,51	0,19	150	0,087	6,5	4,09
175	103464,29	403320,79	0,35	209	0,549	20	3,55
176	103461,76	403321,86	0,13	107	0,07	7,4	2,1
177	103461,01	403321,15	0,40	25	0,061	3,3	1,2
178	103463,60	403317,61	1,55	192	40,057	214,9	14,57
179	103472,88	403303,37	0,68	68	0,405	7,2	4,58
180	103461,80	403317,30	0,13	210	0,119	7,9	5,43
181	103472,62	403301,33	1,14	47	0,851	10,6	0,93
182	103471,56	403301,00	0,57	18	0,123	4,9	2,24
183	103477,61	403293,19	1,03	472	5,052	49,8	5,93
184	103472,63	403298,65	0,41	118	0,374	8	5,63
185	103474,98	403295,27	0,40	26	0,101	7,7	0,99
186	103476,75	403291,61	0,43	31	0,087	4,2	1,72
187	103468,77	403299,91	0,22	58	0,057	6	7,42
188	103471,13	403295,23	0,31	138	0,151	7,5	1,83
189	103468,90	403297,80	0,40	213	0,503	11,7	3,07
190	103477,33	403285,82	1,60	89	4,061	11,8	9,39
191	103472,61	403290,75	0,48	84	0,095	10,9	3,47
192	103452,53	403348,74	0,29	283	0,421	34,7	2,86
193	103450,51	403350,12	0,38	93	0,366	37,9	10,34
194	103460,35	403333,95	0,11	83	0,038	3,5	0,84
195	103462,89	403329,01	0,96	2911	33,907	123,6	11,2
196	103449,73	403346,15	0,48	22	0,093	3,3	2,3
197	103449,99	403344,19	0,55	16	0,109	1,1	1,04
198	103461,22	403329,69	0,82	33	1,024	46,4	5,27
199	103457,20	403332,88	0,93	101	2,807	28,2	9,79
200	103449,06	403343,12	0,66	34	0,201	5,5	3,6
201	103455,14	403334,21	0,44	147	0,84	38,6	5,09



Nr.	X-Coörd.	Y-Coörd.	Diepte	Max-Waarde nT	Magn. Moment Am ²	LSQ nT	Fit-Area m ²
202	103457,67	403329,08	1,33	33	1,559	9,1	3,87
203	103459,99	403323,76	0,16	98	0,13	15,5	3,13
204	103456,23	403325,53	0,86	17	0,276	3	1,36
205	103452,01	403332,02	0,29	59	0,066	4,4	0,72
206	103453,47	403328,53	0,69	15	0,107	1,8	0,55
207	103456,71	403322,21	0,38	31	0,075	2,9	1
208	103433,25	403387,89	0,32	42	0,102	6,5	0,63
209	103431,79	403385,58	0,51	85	0,473	12,4	4,25
210	103431,71	403382,30	0,37	22	0,063	3	1,88
211	103433,84	403378,61	0,24	42	0,06	10,3	1,95
212	103437,69	403372,18	0,99	281	6,089	17,7	19,33
213	103435,53	403373,88	0,28	44	0,055	8	1,7
214	103450,87	403352,25	0,89	376	3,543	22	1,5
215	103434,01	403375,19	0,37	24	0,074	7,7	5,25
216	103445,65	403357,57	0,54	67	0,475	65,5	3,57
217	103438,23	403367,61	0,36	30	0,053	9,1	2,65
218	103438,77	403366,23	0,17	59	0,033	7,8	4,23
219	103435,81	403369,89	0,18	24	0,033	5,1	1,61
220	103437,68	403369,03	0,65	22	0,411	8,2	5,38
221	103437,40	403365,40	0,30	27	0,03	1,5	0,59
222	103424,76	403404,93	0,44	239	3,02	40,3	7,81
223	103417,79	403410,19	0,22	46	0,03	5,1	0,72
224	103420,54	403406,74	0,56	35	0,203	5,8	2,19
225	103419,26	403410,76	1,09	148	2,438	15,2	8,99
226	103420,82	403404,88	0,31	27	0,049	4,5	1,66
227	103422,11	403403,18	0,19	21	0,031	4,6	2,76
228	103425,78	403396,52	0,61	33	0,234	6,6	6,62
229	103428,42	403392,50	0,36	57	0,191	6,5	3,59
230	103423,50	403399,26	0,90	51	0,453	6,4	5,32
231	103422,23	403401,19	0,10	17	0,057	8,7	1,75
232	103419,20	403406,67	4,31	184	305,372	25,2	8,57
233	103418,21	403406,89	0,77	33	1,125	17,6	4,43
234	103424,20	403396,04	0,32	34	0,05	7,2	5,93
235	103427,23	403391,56	0,04	105	0,043	9,8	1,51
236	103425,01	403393,41	1,01	19	0,368	4,2	3,22
237	103421,12	403399,21	1,80	41	2,488	8,1	3,62
238	103427,16	403386,60	2,57	470	116,307	91,9	19,29
239	103392,45	403459,13	0,25	233	0,259	24,8	3,42
240	103382,78	403477,90	0,03	396	0,131	58,7	4,54
241	103383,22	403480,38	0,17	169	0,103	19,3	3,54
242	103379,32	403488,81	1,07	27	0,576	5,8	4,3



Nr.	X-Coörd.	Y-Coörd.	Diepte	Max-Waarde nT	Magn. Moment Am ²	LSQ nT	Fit-Area m ²
243	103377,80	403491,24	0,18	408	0,496	27	8,73
244	103375,84	403488,34	0,10	186	0,148	14,4	2,62
245	103373,89	403500,61	0,68	40	0,274	6,7	3,31
246	103372,98	403498,79	1,09	26	0,608	3,6	5,44
247	103371,05	403502,40	0,18	886	0,848	53,4	6,42
248	103366,65	403514,12	0,13	164	0,072	19,9	3,24
249	103364,53	403511,37	0,51	123	0,413	10,2	3,56
250	103361,33	403524,60	0,20	219	0,313	16,6	5,67
251	103356,22	403539,02	0,47	91	0,287	8,3	4,68
252	103354,12	403540,92	0,67	114	0,669	14	5,52
253	103351,88	403543,56	0,65	111	0,214	6,4	5,24
254	103344,99	403557,28	0,45	208	0,432	25	11,16
255	103343,74	403559,75	0,42	26	0,112	4,4	3,02
256	103341,89	403560,69	0,22	27	0,04	4,9	1,74
257	103256,49	403715,16	0,70	99	0,607	8,7	4,49
258	103251,88	403721,64	0,35	46	0,098	2,9	3,92
259	103251,17	403724,61	0,28	81	0,092	8,5	2,74
260	103249,61	403726,60	0,23	287	0,366	23,7	5,77
261	103237,13	403744,83	0,41	141	0,376	17,5	4,28
262	103233,64	403750,07	0,63	160	0,464	15,2	3,41
263	103221,53	403756,27	0,20	243	0,244	12,5	2,9
264	103225,83	403763,01	0,38	1328	3,778	22,7	8,41
265	103221,09	403769,76	0,43	1047	3,048	21,7	7,81
266	103215,95	403774,72	0,22	252	0,226	43,1	4,9
267	103200,64	403796,27	0,43	183	0,331	14,5	3,28
268	103198,20	403799,51	0,38	574	0,85	84,4	6,22
269	103196,36	403803,95	0,25	5950	7,578	175,4	6,96
270	103194,20	403794,19	0,18	104	0,067	4,7	4,15
271	103191,83	403799,39	0,42	54	0,219	8,9	3,92
272	103156,09	403847,15	0,55	478	2,727	16,9	9,62
273	103158,66	403846,53	0,49	48	0,197	11,6	4,16
274	103194,15	403811,42	0,62	63	0,477	8,4	7,79
275	103197,04	403807,17	1,03	138	2,363	27,1	8,12
276	103203,60	403795,10	0,08	647	0,251	40	4,63
277	103201,32	403797,99	0,16	556	0,272	43,3	3,37
278	103204,83	403802,70	0,26	126	0,207	22,7	4,19
279	103214,01	403780,47	0,07	647	0,173	43,4	3,21
280	103217,84	403776,99	0,42	302	0,628	46,4	2,46
281	103219,89	403774,26	0,38	2136	5,778	139,3	15,25
282	103222,92	403769,70	1,07	1540	27,231	137,5	11,98
283	103226,18	403765,43	0,63	302	1,674	28,9	3,64



Nr.	X-Coörd.	Y-Coörd.	Diepte	Max-Waarde nT	Magn. Moment Am ²	LSQ nT	Fit-Area m ²
284	103227,02	403764,30	0,21	326	0,365	52,7	4,19
285	103238,49	403748,13	0,36	484	1,093	40,2	2,93
286	103242,51	403740,19	0,40	1054	2,85	61	4,09
287	103248,03	403732,15	0,47	2473	6,948	83,2	14,64
288	103294,19	403672,16	0,68	62	0,614	7,1	2,87
289	103294,02	403668,88	0,56	55	0,301	8,4	1,68
290	103299,25	403663,50	0,28	337	0,522	34,4	3,74
291	103321,33	403625,95	0,23	128	0,247	14,1	1,58
292	103320,76	403616,30	0,71	345	1,411	30,5	6,19
293	103323,41	403618,04	0,55	54	0,354	7,8	4,81
294	103324,34	403615,80	0,62	91	0,561	14,4	1,69
295	103323,56	403612,59	0,50	298	1,086	20,5	5,96
296	103326,01	403612,92	0,48	67	0,178	9,9	2,65
297	103323,31	403610,92	0,73	1398	5,254	132,9	6,62
298	103332,91	403594,62	0,54	20	0,099	4,2	1,72
299	103333,62	403592,99	0,36	25	0,048	5,9	4,39
300	103334,91	403586,67	0,08	466	0,408	49,4	3,07
301	103336,39	403590,85	1,20	39	1,437	15,3	2,54
302	103335,05	403595,78	0,00	18	0,052	9,6	5,84
303	103336,72	403591,75	0,68	13	1,862	41,2	3,7
304	103336,77	403582,54	0,35	15	1,281	34	2,39
305	103337,98	403586,93	0,60	211	1,038	14,8	10,24
306	103337,47	403592,27	0,15	180	0,12	60,1	0,65
307	103337,92	403592,59	0,03	184	0,063	35,6	1,31
308	103338,00	403589,86	1,68	48	4,21	21,2	8,49
309	103337,89	403593,76	0,23	51	0,06	5,3	1,46
310	103339,96	403580,15	0,76	16	0,134	3	0,6
311	103340,83	403581,16	0,00	271	0,086	11,6	1,99
312	103341,12	403573,89	0,18	406	0,293	34,5	2,81
313	103341,64	403579,72	0,56	19	0,108	7,7	1,5
314	103341,53	403587,61	2,05	19	2,029	4,6	3,14
315	103342,94	403578,77	0,24	115	0,203	14,4	2,32
316	103342,82	403585,70	0,12	50	0,049	7,7	0,55
317	103343,14	403569,87	0,12	405	0,337	56,1	5,24
318	103343,46	403582,85	1,70	159	13,521	24,6	9,14
319	103343,30	403571,95	0,45	197	0,467	17,8	2,01
320	103343,62	403575,60	0,05	573	0,131	25,6	2,77
321	103344,25	403578,52	1,45	69	3,547	17,7	8,11
322	103344,16	403574,53	0,55	44	0,171	21	1,87
323	103344,83	403568,95	0,27	80	0,08	17,4	2,77
324	103344,91	403575,79	0,26	79	0,126	7,8	1,64



Nr.	X-Coörd.	Y-Coörd.	Diepte	Max-Waarde nT	Magn. Moment Am ²	LSQ nT	Fit-Area m ²
325	103345,33	403565,72	0,12	2018	0,978	174,4	2,62
326	103345,73	403571,35	0,52	83	0,879	17,7	3,39
327	103346,56	403563,07	0,00	296	0,088	38,7	2,36
328	103347,07	403573,92	0,45	55	0,117	7,6	1,05
329	103347,76	403569,39	0,8	45	0,395	10,5	4,8
330	103347,82	403560,05	0,41	1069	2,078	112,2	2,84
331	103349,44	403565,13	0,03	30	0,082	12,5	1,94
332	103348,29	403571,46	0,56	190	1,294	30,7	7,69
333	103348,50	403558,82	0,22	610	0,936	121,9	2,39
334	103345,93	403566,79	0,39	28	0,578	11,6	4,12
335	103350,18	403567,50	1,07	26	0,562	5,6	4,72
336	103350,58	403563,07	0,12	11	0,04	5,8	0,6
337	103350,12	403564,64	0,00	346	0,054	53,5	2,32
338	103350,62	403555,09	0,22	224	0,177	22,9	1,93
339	103351,36	403562,79	0,25	108	0,186	9,1	2,71
340	103352,18	403552,16	0,17	221	0,464	22,6	2,93
341	103353,35	403549,82	0,43	186	0,417	21,8	2,13
342	103353,35	403561,14	0,30	24	0,034	5,6	1,5
343	103354,20	403555,99	0,00	398	0,085	64,6	2,02
344	103354,63	403549,99	1,02	16	0,475	6,6	2,87
345	103355,41	403545,19	0,08	474	0,341	49,1	3,37
346	103356,20	403552,96	0,26	188	0,368	20,2	4,6
347	103356,72	403549,29	0,41	34	0,083	6,6	4,19
348	103356,70	403557,14	0,30	25	0,049	3,2	2,18
349	103357,45	403543,06	1,96	13	26,672	158,9	2,24
350	103357,58	403554,59	0,45	68	0,311	14,3	4,87
351	103358,95	403546,82	0,57	119	0,502	17,6	3,44
352	103358,17	403550,47	0,13	97	0,044	14,5	1,87
353	103358,63	403553,00	0,23	131	0,138	37,3	4,59
354	103359,61	403546,92	0,30	145	0,329	9,8	6,49
355	103360,41	403549,92	0,20	198	0,338	7,9	3,32
356	103360,87	403548,25	0,58	22	0,189	10,3	3,39
357	103363,34	403544,33	0,15	206	0,161	21,4	2,47
358	103322,45	403621,30	0,33	272	0,361	28,2	4,57
359	103358,05	403540,01	0,29	265	0,36	22	3,45
360	103382,87	403500,80	0,10	190	0,136	18,6	4,06
361	103386,69	403496,36	0,73	642	7,1	59,5	13,27
362	103387,66	403491,43	0,58	613	3,591	43,8	8,65
363	103388,09	403492,73	0,19	156	0,184	22,8	2,22
364	103386,89	403485,12	0,31	327	0,537	27,8	3,46
365	103388,67	403486,39	0,34	870	1,573	65,6	7,97



Nr.	X-Coörd.	Y-Coörd.	Diepte	Max-Waarde nT	Magn. Moment Am ²	LSQ nT	Fit-Area m ²
366	103390,16	403483,96	0,31	71	0,163	15,7	5,01
367	103388,16	403482,69	0,21	429	0,549	36,3	5,22
368	103434,55	403388,39	0,74	36	1,936	42,6	2,19
369	103437,04	403385,95	0,33	20	0,042	3,6	2,17
370	103436,94	403381,83	0,28	1802	2,109	150,4	3,7
371	103437,19	403383,12	0,48	471	2,079	108,7	6,51
372	103438,14	403386,85	0,28	71	0,094	20,4	6,86
373	103438,73	403380,85	0,60	42	0,193	11,3	1,56
374	103439,33	403379,29	1,39	391	10,939	60,2	13,04
375	103439,05	403386,66	0,37	98	0,225	18,2	3,69
376	103439,91	403383,42	0,15	100	0,082	9,2	3,58
377	103440,84	403380,91	0,32	16	0,047	2,9	2,31
378	103440,49	403383,36	0,30	22	0,076	7,3	0,8
379	103442,84	403376,63	1,01	245	3,563	21,5	8,24
380	103443,72	403383,99	2,30	22	4,011	7	3,7
381	103443,18	403380,41	0,16	267	0,159	25,4	3,18
382	103444,77	403379,49	0,49	151	0,359	24,2	1,89
383	103443,33	403382,78	0,06	228	0,097	47,4	4,72
384	103443,98	403369,99	0,56	259	1,165	43,6	4,19
385	103444,61	403373,71	0,18	75	0,094	28,5	3,58
386	103445,80	403375,00	0,00	245	0,066	25,9	3,7
387	103444,50	403380,03	0,38	211	0,601	32,1	5,99
388	103445,09	403368,21	0,10	241	0,059	80,1	2,68
389	103445,46	403366,81	0,21	736	0,484	60,2	3,09
390	103445,73	403368,70	0,40	85	0,235	30,7	1,5
391	103447,39	403369,06	0,19	59	0,208	27,7	2,88
392	103446,78	403370,62	0,35	68	0,13	11,4	2,29
393	103446,32	403372,90	0,62	21	0,103	17,2	1,87
394	103447,60	403375,11	1,86	57	9,376	15,1	13,46
395	103448,86	403368,53	0,78	146	1,954	45,1	9,76
396	103449,89	403364,39	1,13	31	0,647	8,2	2,09
397	103451,38	403366,60	2,11	105	11,221	21,8	4,04
398	103453,04	403363,23	0,62	84	0,55	66,8	4,98
399	103448,28	403358,80	0,08	3277	1,386	150,1	10,11
400	103453,10	403359,52	2,60	246	47,838	22,3	16,23
401	103454,86	403354,65	2,24	142	26,093	11,7	11,69
402	103455,65	403351,76	0,06	410	0,217	18,6	4,58
403	103455,64	403346,59	0,22	632	0,526	49,4	5,9
404	103458,56	403345,50	0,57	39	0,228	5,1	2,72
405	103461,09	403341,07	0,07	78	0,053	8,5	2,15
406	103456,49	403350,10	0,46	53	0,124	6,9	2,23



Nr.	X-Coörd.	Y-Coörd.	Diepte	Max-Waarde nT	Magn. Moment Am ²	LSQ nT	Fit-Area m ²
407	103459,29	403339,54	0,25	585	0,571	66,8	3,16
408	103463,62	403329,26	0,05	722	0,352	60,7	3,26
409	103467,82	403328,65	0,13	163	0,149	15,9	2,69
410	103465,16	403326,09	0,48	1036	5,2	66	4,59
411	103470,43	403322,82	0,54	167	0,897	16	8,14
412	103466,73	403323,77	0,59	332	1,544	55,5	7,8
413	103469,49	403325,79	0,13	96	0,08	9,5	3,1
414	103469,76	403319,27	0,27	108	0,204	11,5	4,19
415	102644,95	404569,63	0,81	118	0,771	7,5	2,02
416	102650,16	404569,65	1,70	24	2,284	7,9	8,04
417	102651,42	404567,24	0,76	60	0,49	7,7	3,14
418	102652,56	404565,88	0,68	21	0,188	3,2	2,41
419	102653,94	404563,32	0,14	137	0,057	10,8	2,53
420	102654,73	404560,99	0,16	37	0,033	4,6	2,21
421	102659,43	404551,35	0,30	30	0,056	10,5	0,05
422	102661,03	404553,58	0,31	38	0,05	4,7	1,94
423	102663,95	404548,33	1,41	45	1,832	12,2	7,01
424	102666,56	404540,06	0,66	408	2,345	65,4	3,29
425	102670,24	404542,74	1,21	44	1,132	7	1,54
426	102671,31	404534,59	0,69	27	0,172	4,7	2,98
427	102671,77	404538,34	0,18	31	0,04	7	3,03
428	102672,63	404538,08	0,29	34	0,057	7,2	1,57
429	102673,23	404537,21	0,23	40	0,043	8,5	1,95
430	102673,39	404530,56	1,12	32	0,582	4,2	0,63
431	102673,85	404535,26	0,83	31	0,233	3,3	1,99
432	102675,25	404528,23	1,17	41	0,855	4,2	1,43
433	102677,07	404525,47	1,26	61	1,495	6,2	1,36
434	102677,54	404528,13	0,27	38	0,061	4,7	2,02
435	102679,55	404529,83	0,15	40	0,032	3,3	0,63
436	102680,69	404525,20	0,41	37	0,138	6,1	3,56
437	102682,12	404522,35	0,34	1176	3,439	97,3	6,18
438	102684,24	404521,78	1,10	48	1,292	5,8	5,84
439	103024,00	404052,57	0,61	121	0,698	15,4	6,28
440	103024,13	404048,35	0,17	718	0,539	46	5,21
441	103025,49	404050,95	0,43	173	0,596	26,3	3,62
442	103025,56	404049,80	0,75	242	2,787	34,9	10,4
443	103114,90	403931,51	0,30	197	0,385	14,7	7,81
444	103110,91	403932,58	0,76	32	0,353	4,5	3,4
445	103104,47	403941,60	0,38	211	0,672	15,6	7,96
446	103099,23	403948,01	0,36	90	0,277	7,4	7,23
447	103089,90	403966,94	0,27	84	0,104	7,2	4,11



Nr.	X-Coörd.	Y-Coörd.	Diepte	Max-Waarde nT	Magn. Moment Am ²	LSQ nT	Fit-Area m ²
448	103085,85	403974,20	1,06	109	2,464	11,8	8,44
449	103079,65	403980,67	0,70	604	7,425	24,5	22,28
450	103075,71	403977,97	0,08	2196	1,192	83	14,1
451	103070,33	403981,63	1,02	728	12,038	117,3	8,73
452	103075,43	403986,00	2,65	42	19,669	8,1	8,47
453	103081,81	403968,29	0,36	130	0,214	11,2	5,31
454	103089,67	403958,31	0,19	311	0,366	44,4	4,84
455	103084,89	403963,63	0,15	265	0,151	17,7	3,91
456	103071,87	403982,12	0,15	653	0,634	151,9	8,72
457	103042,82	404022,35	0,51	380	1,289	26	10,51
458	103054,94	404004,75	0,72	91	0,764	11,8	9,63
459	103051,72	404010,65	1,25	2129	62,875	154,7	14,1
460	103035,79	404028,67	0,38	134	0,5	32,1	14,67
461	103037,81	404030,33	1,82	117	8,776	20,1	14,28
462	103041,02	404031,76	0,53	180	0,726	26,4	6,39
463	102966,28	404126,42	0,15	228	0,111	9,8	4,18
464	102968,08	404123,87	0,09	160	0,057	7,6	4,09
465	102961,78	404133,01	0,31	1362	2,503	83,3	5,52
466	102957,78	404137,73	0,08	127	0,063	10,9	3,06
467	102949,51	404156,36	0,37	180	0,304	14,3	4,41
468	102943,51	404158,54	0,19	31	0,038	3,1	3,65
469	102950,95	404148,15	2,16	119	15,274	16,4	25,17
470	102948,64	404152,05	1,49	33	2,031	6,5	7,96
471	102945,09	404156,14	3,68	36	27,865	6,6	7,11
472	102913,29	404202,22	0,21	72	0,076	8,1	1,91
473	102910,95	404203,23	0,50	469	1,322	20,6	9,54
474	102907,29	404207,48	0,64	136	0,753	18,6	6,39
475	102920,44	404194,25	1,08	67	2,162	9,5	9,54
476	102923,71	404192,27	1,11	83	3,86	17,5	8,63
477	102922,71	404186,65	0,25	45	0,058	3,8	2,28
478	102920,15	404189,80	0,21	29	0,037	2,5	2,96
479	102874,96	404254,03	0,49	1147	3,408	46,6	8,37
480	102771,34	404394,27	0,29	194	0,237	23	3,15
481	102772,32	404392,99	0,65	198	0,978	23,2	3,23
482	102774,17	404391,49	0,64	86	0,593	14	3,6
483	102700,16	404486,17	0,44	1968	4,115	141,4	2,3
484	102703,18	404488,61	1,41	52	2,652	9,7	9,75
485	102704,78	404486,10	0,79	65	0,557	7,6	1,68
486	102705,52	404478,78	0,26	930	1,1	90,6	2,37
487	102707,75	404484,34	0,09	240	0,124	16,7	4,06
488	102708,17	404475,04	0,52	1589	4,381	132,5	1,14



Nr.	X-Coörd.	Y-Coörd.	Diepte	Max-Waarde nT	Magn. Moment Am ²	LSQ nT	Fit-Area m ²
489	102708,50	404488,40	0,23	44	0,065	6,5	1,27
490	102710,36	404480,36	0,53	175	0,651	11,2	4,94
491	102710,19	404472,01	0,42	2642	4,881	142,9	3,13
492	102710,35	404476,23	0,30	76	0,35	8,8	2,36
493	102711,92	404469,66	0,44	2022	4,489	115	3,14
494	102712,97	404475,54	0,42	125	0,202	11,6	2,89
495	102713,90	404478,16	0,93	15	0,376	4,1	5,29
496	102714,49	404471,96	0,43	41	0,088	1,8	0,48
497	102714,63	404474,71	0,63	22	0,122	2,7	1,14
498	102715,02	404465,32	0,88	1710	15,725	90,6	2,39
499	102715,89	404469,74	0,16	91	0,085	36	2,69
500	102714,80	404468,22	0,49	1538	4,097	112,2	7,31
501	102716,97	404462,45	0,37	950	1,31	51,3	3,41
502	102721,97	404462,30	0,40	67	0,217	7,3	2,62
503	102723,27	404460,65	0,46	64	0,319	7,9	3,95
504	102724,85	404464,61	0,43	29	0,072	3,7	1,73
505	102727,18	404460,54	0,37	40	0,111	3,9	2,8
506	102729,54	404455,26	0,26	34	0,05	5,4	2,27
507	102729,56	404452,17	0,85	150	1,549	17,8	6,4
508	102729,73	404457,01	0,69	84	0,51	5,6	3,27
509	102731,37	404450,37	0,40	74	0,259	14,8	4,82
510	102731,54	404447,33	0,67	78	0,421	8,2	3,18
511	102734,17	404446,43	0,61	27	0,22	6,5	5,97
512	102734,86	404442,83	0,50	237	1,195	16,2	7,91
513	102735,40	404445,88	0,88	39	0,642	4,4	5,37
514	102735,15	404450,73	0,29	109	0,148	12,2	3,38
515	102737,00	404443,76	0,82	45	0,493	8,3	7,11
516	102737,56	404441,56	0,11	50	0,036	11	3,3
517	102738,01	404438,51	0,71	65	0,403	8,5	3,11
518	102738,12	404440,26	0,35	17	0,07	7	1,87
519	102738,82	404442,24	0,36	116	0,251	10,6	4,6
520	102740,07	404438,15	0,35	75	0,153	6,8	4,67
521	102741,29	404433,36	1,01	402	7,919	34,3	7,28
522	102741,57	404444,50	0,64	25	0,132	1,3	1,37
523	102741,97	404437,01	0,69	30	0,26	6,5	2,72
524	102742,55	404439,58	0,20	206	0,165	15,1	4,95
525	102743,02	404435,63	0,38	230	0,545	40,2	7,01
526	102744,41	404427,40	0,51	533	2,83	46	5,58
527	102744,57	404437,20	0,29	20	0,038	3,3	1,03
528	102744,62	404433,61	0,64	91	0,47	11,5	2,17
529	102744,07	404431,35	0,20	355	0,282	27	5,83



Nr.	X-Coörd.	Y-Coörd.	Diepte	Max-Waarde nT	Magn. Moment Am ²	LSQ nT	Fit-Area m ²
530	102745,86	404429,40	0,41	61	0,143	7,5	1,26
531	102751,30	404428,48	0,78	13906	98,294	503,8	37,64
532	102747,50	404420,96	0,47	1292	3,25	64,3	5,22
533	102748,89	404433,57	0,06	198	0,047	7,1	0,19
534	102746,64	404424,05	0,69	255	1,819	18,5	4,93
535	102750,01	404419,76	0,98	974	10,899	78,4	4,94
536	102749,20	404423,38	0,65	73	0,433	38,2	6,83
537	102753,04	404425,99	0,29	47	0,057	11,3	2,01
538	102758,11	404422,14	0,12	75	0,031	8,5	0,76
539	102758,61	404417,22	1,04	38	1,854	29,5	2,84
540	102665,65	404543,78	0,45	72	0,322	5,5	2,06
541	102686,91	404516,33	0,46	74	0,306	13,1	7,99
542	102691,21	404510,65	0,87	149	2,645	17,3	8,14
543	102691,87	404505,31	0,56	381	1,605	24,4	6,75
544	102705,67	404490,33	0,35	47	0,16	3,1	5,75
545	102753,38	404414,53	1,17	571	14,577	81	8,79



AVG Explosieven Opsporing Nederland

Veerweg 10, 5171 PW Kaatsheuvel
Postbus 160, 6590 AD Gennep

T +31 416 700220

eo@avg.eu
www.avg.eu